

# Fonony a Mössbauerův jev

I. Turek

Katedra fyziky kondenzovaných látek,  
MFF UK, Praha

[turek@ipm.cz](mailto:turek@ipm.cz)

February 23, 2021

## K přednášce obecně

trochu smícháme následující položky:

- ▶ lineární harmonický oscilátor
- ▶ fonony (v harmonické approximaci)
- ▶ klasická a kvantová statistika
- ▶ Fermiho zlaté pravidlo
- ▶ Mössbauerův jev
- ▶ teorie rozptylu na krystalech

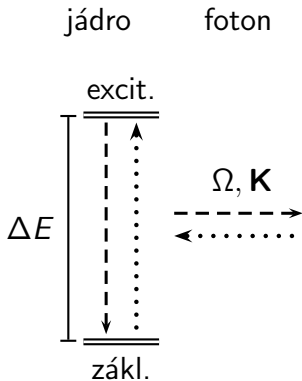
(snad bude výsledná směs stravitelná ... )

# 1 Úvod

- nehybné atomové jádro při přechodu z excitovaného do základního stavu vyzařuje foton s vlnovým vektorem  $\mathbf{K}$  a s frekvencí  $\Omega_0$  danou energetickým rozdílem  $\Delta E$  obou stavů;

přechod je způsoben interakcí vnitřních stupňů volnosti jádra s elektromagnetickým polem

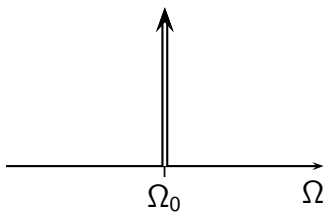
- v případě volného jádra se díky zpětnému rázu (zachování impulsu a energie) vyzáří foton s frekvencí  $\Omega$  menší než  $\Omega_0$



$$\Delta E = \hbar\Omega_0$$

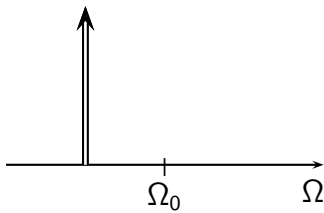
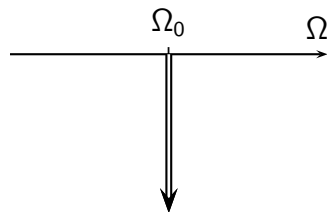
## Spektra EM záření od jediného jádra (na počátku v klidu)

spektrum emisní

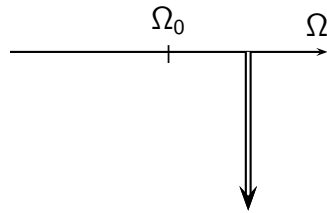


jádro  
pevné

spektrum absorpční

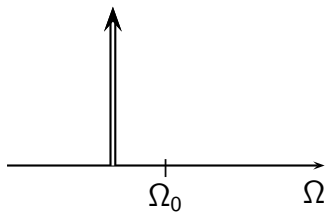


jádro  
volné

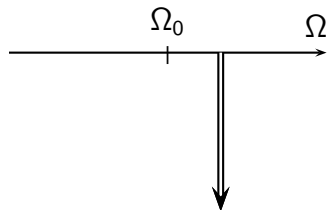


Spektra EM záření od souboru jader v ideálním plynu:  
závislost na teplotě  $T$

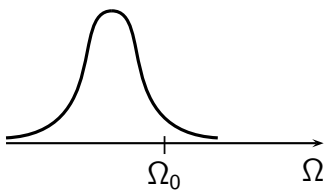
spektrum emisní



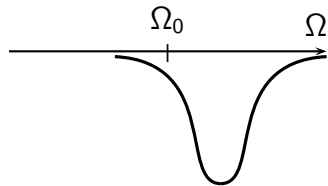
spektrum absorpční



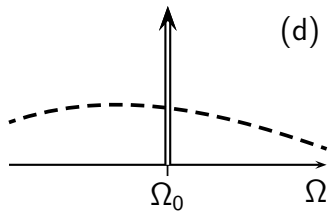
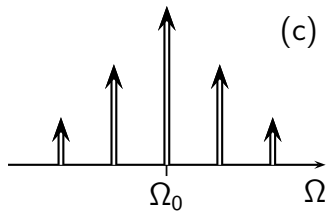
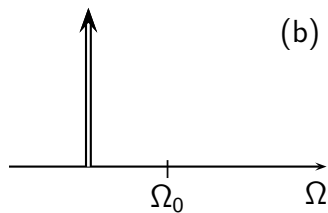
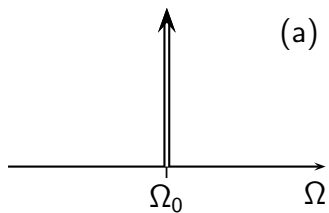
$T = 0$



$T > 0$



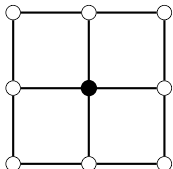
- pro jádra v ideálním plynu:
  - ▶ i přes vliv zpětného rázu na frekvenci fotonů může dojít k tzv. jaderné rezonanční absorpci, která je poměrně slabá – je možná jen díky překryvu emisního a absorpčního spektra
  - ▶ intenzita rezonanční absorpce s klesající teplotou klesá
- pro jádra v pevné látce (R. L. Mössbauer, 1958):
  - ▶ intenzita rezonanční absorpce s klesající teplotou roste
  - ▶ emisní a absorpční spektra el.-mag. záření se kvalitativně zásadně liší od spekter v plynech



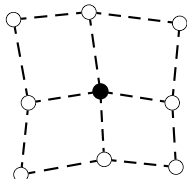
Spektrální hustota (jako funkce frekvence  $\Omega$ ) el.-mag. záření emitovaného z jádra: (a) pevného, (b) volného, (c) v poli jediného harmonického oscilátoru, (d) v pevné látce.

- jádro v pevné látce vyzařuje fotony s frekvencemi změněnými od  $\Omega_0$  o frekvence z fononového spektra; kromě toho je však v emisním spektru přítomna též složka s nezměněnou frekvencí  $\Omega_0$  (*Mössbauerův jev*)  
⇒ možnost pozorování jaderné rezonanční absorpce
- jednoduché vysvětlení Mössbauerova jevu, založené na potlačení vlivu zpětného rázu v důsledku veliké hmoty krystalu (vzhledem ke hmotě jediného jádra), je nedostatečné, neboť zcela ignoruje vliv fononů (kmitů krystalové mřížky)
- hodnoty pro jádro  $^{57}\text{Fe}$ :  
energie jaderného přechodu 14 keV,  
přirozená šířka čáry  $5 \times 10^{-9}$  eV,  
energie zpětného rázu  $2 \times 10^{-3}$  eV  
(typická energie fononů v bcc železe  $3 \times 10^{-2}$  eV)

## Zabudování jednoho jádra do krystalu



*naivně:* tuhé vazby,  
nehybná jádra



*realisticky:* elastické vazby,  
kmitající jádra (fonony)

- v naší elementární teorii Mössbauerova jevu pojednáme:

složka problému

způsob popisu

elektromagnetické pole

klasicky

jádro: pohyb těžiště

klasicky/kvantově

jádro: vnitřní stupně volnosti

kvantově

a k tomu využijeme Fermiho zlatého pravidla

## Fermiho zlaté pravidlo (malé repetitorium)

- uvažujeme dva vlastní stavy  $|i\rangle$  a  $|f\rangle$  a příslušné vlastní hodnoty  $E_i$  a  $E_f$  časově nezávislého neporušeného hamiltoniánu  $\hat{H}_0$  a dále uvažujeme časově závislou poruchu

$$\hat{H}'(t) = \hat{V} \exp(i\Omega t) + \hat{V}^+ \exp(-i\Omega t)$$

- pravděpodobnost přechodu za jednotku času ze stavu  $|i\rangle$  do stavu  $|f\rangle$  vyvolaná tou poruchou je (při  $\Omega > 0$  a  $E_i > E_f$ ) dána vztahem

$$w_{i \rightarrow f} \sim \left| \langle f | \hat{V} | i \rangle \right|^2 \delta(\hbar\Omega + E_f - E_i),$$

přičemž konečné hodnoty se získají např. integrací přes spojitou frekvenci  $\Omega$

## 2 Klasický popis pohybu jader

- ▶ el.-mag. pole i kmity jader – klasicky
- ▶ vnitřní stupně volnosti jader – kvantově

### 2.1 Jádro v poli jednoho oscilátoru

- nejprve uvažujme jádro o hmotě  $M$  pohybující se pouze ve směru vlnového vektoru  $\mathbf{K}$ ; jádro je pod vlivem jediného harmonického oscilátoru s frekvencí  $\omega$  ( $\omega \ll \Omega_0$ ), tj. časová závislost výchylky jádra  $q(t)$  je dána periodickou funkcí

$$q(t) = q \cos(\omega t) + \frac{p}{M\omega} \sin(\omega t), \quad (1)$$

kde  $q$  a  $p$  značí hodnotu výchylky a hybnosti v čase  $t = 0$

- frekvenci el.-mag. záření označíme  $\Omega$ ; pro vlnové délky záření mnohem větší než rozměry jádra lze časově závislý interakční hamiltonián  $\hat{H}'(t)$  psát ve tvaru

$$\hat{H}'(t) = \hat{H}'_{\text{nucl}} \exp(i\Omega t) \exp[-iKq(t)] + \text{h.c.}, \quad (2)$$

kde operátor  $\hat{H}'_{\text{nucl}}$  popisuje interakci vnitřních stupňů volnosti jádra s (časově i prostorově konstantním) el.-mag. polem

- poznámka:

Porucha  $\hat{H}'_{\text{nucl}} \exp(i\Omega t)$  vede podle Fermiho zlatého pravidla k přechodu mezi stavem jádra počátečním ( $|i\rangle$  – excitovaným) a konečným ( $|f\rangle$  – základním) s pravděpodobností přechodu za jednotku času  $\sim |\langle f | \hat{H}'_{\text{nucl}} | i \rangle|^2 \delta(\Omega - \Omega_0)$ , což odpovídá emisnímu spektru nehybného jádra.

Nás ovšem zajímá vliv faktoru  $\exp[-iKq(t)]$  v rov. (2).

- k periodické funkci  $\exp[-iKq(t)]$  zavedeme Fourierovy koeficienty  $C_n$  (závislé na počátečních podmínkách  $p, q$ )

$$\exp[-iKq(t)] = \sum_{n=-\infty}^{\infty} C_n \exp(in\omega t); \quad (3)$$

s nimi lze časovou závislost poruchy  $\hat{H}'(t)$  (2) psát ve tvaru

$$\hat{H}'(t) = \hat{H}'_{\text{nucl}} \sum_{n=-\infty}^{\infty} C_n \exp[i(\Omega + n\omega)t] + \text{h.c..} \quad (4)$$

Tato časová závislost obsahuje nekonečně mnoho frekvencí, což vede k pravděpodobnosti přechodu za jednotku času závislé na frekvenci  $\Omega$  podle vztahu

$$w_{i \rightarrow f}(\Omega) \sim \sum_{n=-\infty}^{\infty} |C_n|^2 \delta(\Omega + n\omega - \Omega_0), \quad (5)$$

tj. přechody budou nastávat pro frekvence  $\Omega$  posunuté vzhledem k  $\Omega_0$  o celistvé násobky frekvence oscilátoru  $n\omega$ , a to s intenzitami úměrnými  $|C_n|^2$ .

- koeficienty  $C_n$  splňují sumační pravidlo (důsledek  $|\exp[-iKq(t)]| = 1$  a Parsevalovy rovnosti)

$$\sum_{n=-\infty}^{\infty} |C_n|^2 = 1, \quad (6)$$

takže relativní zastoupení složky s nezměněnou frekvencí  $\Omega_0$  v emisním spektru je dáno veličinou  $C_0^2$  ( $C_0$  je reálné)

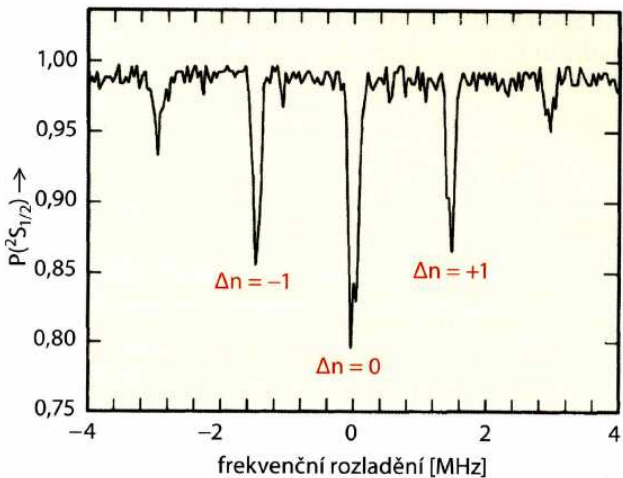
- explicitně lze  $C_n$  získat z Besselových funkcí  $J_n(z)$  a ze vztahu

$$\exp(iz \sin t) = \sum_{n=-\infty}^{\infty} J_n(z) \exp(int); \quad (7)$$

vyjde mj.  $C_0 = J_0(Kr)$  a  $|C_n|^2 = J_n^2(Kr)$ ,  
kde  $r^2 = q^2 + [p/(M\omega)]^2$

- experimentální ověření spektra podle rov. (5) lze získat pomocí dvou stavů (základního a excitovaného) iontu (nikoliv jádra) uvězněného v mikroskopické pasti;  
více např. v Čs. čas. fyz. 64 (2014), č. 1, str. 25

# Spektroskopie na přechodu $^2S_{1/2} \rightarrow ^2D_{5/2}$ iontu $^{199}\text{Hg}^+$



[Čs. čas. fyz. 64 (2014), č. 1, str. 25]

- při experimentech na souboru identických jader v termodynamické rovnováze s teplotou  $T$  bude frekvence  $\Omega_0$  zastoupena v emisním spektru s relativní intenzitou  $\langle C_0^2 \rangle$ , kde  $\langle \dots \rangle$  značí statistické středování přes proměnné  $p, q$ , což jsou počáteční podmínky pro časovou závislost výchylky  $q(t)$  podle rov. (1). Pro  $\langle C_0^2 \rangle$  lze získat dolní odhad:

$$\langle C_0^2 \rangle \geq \langle C_0 \rangle^2, \quad \langle C_0 \rangle = \exp\left(-\frac{K^2}{2} \langle q^2 \rangle\right), \quad (8)$$

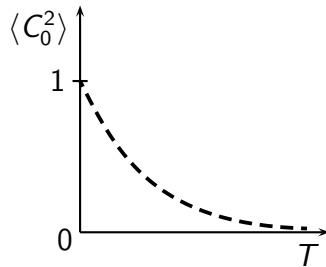
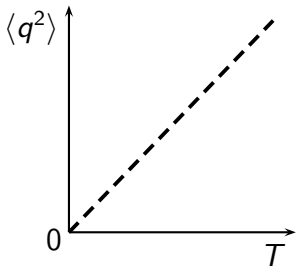
který dokazuje, že komponenta s původní frekvencí  $\Omega_0$  bude ve spektru vždy přítomna. Zde  $\langle q^2 \rangle \sim T$  značí statistickou střední hodnotu kvadrátu výchylky jádra.

Poznamenejme, že  $\langle C_0 \rangle$  udává statisticky vystředovanou hodnotu komplexní funkce (3), což je *amplituda* (nikoliv intenzita) studovaného děje.

- přesný výpočet  $\langle C_0^2 \rangle$  s využitím (7) vede k výsledku

$$\begin{aligned}\langle C_0^2 \rangle &= \exp(-K^2 \langle q^2 \rangle) J_0(iK^2 \langle q^2 \rangle) \\ &= \exp(-K^2 \langle q^2 \rangle) \left(1 + \frac{K^4}{4} \langle q^2 \rangle^2 + \dots\right),\end{aligned}\quad (9)$$

který ukazuje, že dolní odhad (8) je velice dobrým vyjádřením pro malé hodnoty  $K^2 \langle q^2 \rangle$ , s relativní chybou řádu  $K^4 \langle q^2 \rangle^2$



## Klasická statistika pro harmonický oscilátor

- pro jediný lineární harmonický oscilátor s hmotou  $M$  a frekvencí  $\omega$  máme hamiltonián

$$H(P, Q) = \frac{P^2}{2M} + \frac{M\omega^2}{2} Q^2$$

- Boltzmannova statistika (kanonické rozdělení) při teplotě  $T$  pak dává následující vztahy pro statistické střední hodnoty (horní vztah – ekvipartiční teorém):

$$\frac{1}{M} \langle P^2 \rangle = M\omega^2 \langle Q^2 \rangle = \langle H(P, Q) \rangle = k_B T,$$

$$\langle \exp(cQ) \rangle = \exp\left(\frac{c^2}{2} \langle Q^2 \rangle\right),$$

kde  $c$  je libovolná (i komplexní) konstanta

## 2.2 Jádro v pevné látce

- uzlové body (vektory) Bravaisovy mřížky značíme  $\mathbf{R}$  a bereme je ve velkém, ale konečném krystalu s periodickými okrajovými podmínkami;  
celkový počet uzlů v tomto krystalu je  $N = L^3$
- značení: výchylky jader  
z rovnovážných poloh –  $\mathbf{q}_\mathbf{R} = \{q_{\mathbf{R}\alpha}\} = (q_{\mathbf{R}x}, q_{\mathbf{R}y}, q_{\mathbf{R}z})$ ,  
příslušné impulsy –  $\mathbf{p}_\mathbf{R} = \{p_{\mathbf{R}\alpha}\} = (p_{\mathbf{R}x}, p_{\mathbf{R}y}, p_{\mathbf{R}z})$ ,  
kde index  $\alpha = x, y, z$  čísluje kartézské složky vektorů
- rovnovážnou polohu vyzařujícího jádra volíme v počátku Bravaisovy mřížky ( $\mathbf{R} = \mathbf{0}$ ); faktor  $\exp[-iKq(t)]$  v rov. (2) nahradíme výrazem  $\exp[-i\mathbf{K} \cdot \mathbf{q}(t)]$ , kde  $\mathbf{q}(t) = \mathbf{q}_0(t)$

- od původních souřadnic  $\{q_{\mathbf{R}\alpha}, p_{\mathbf{R}\alpha}\}$  přejdeme k tzv. normálním souřadnicím (fononovým módům)  $\{Q_{\mathbf{k}j}, P_{\mathbf{k}j}\}$  pomocí vztahů

$$q_{\mathbf{R}\alpha} = \sqrt{\frac{2}{N}} \sum_{\mathbf{k}}^{\text{BZ}} \sum_{j=1}^3 \cos[\mathbf{k} \cdot \mathbf{R} - (\pi/4)] e_{\alpha}^{(j)}(\mathbf{k}) Q_{\mathbf{k}j},$$

$$Q_{\mathbf{k}j} = \sqrt{\frac{2}{N}} \sum_{\mathbf{R}} \sum_{\alpha} \cos[\mathbf{k} \cdot \mathbf{R} - (\pi/4)] e_{\alpha}^{(j)}(\mathbf{k}) q_{\mathbf{R}\alpha}, \quad (10)$$

a podobně pro impulsy  $\{p_{\mathbf{R}\alpha}\}$  a  $\{P_{\mathbf{k}j}\}$ .

Zde  $\mathbf{k}$  je kvazispojitý vektor z 1. Brillouinovy zóny (BZ),  $j = 1, 2, 3$  čísluje větev fononového spektra a  $\{e_{\alpha}^{(j)}(\mathbf{k})\} = \mathbf{e}^{(j)}(\mathbf{k})$  je polarizační vektor  $\mathbf{k}j$ -tého fononového módu s obvyklou ortonormalizací:  $\sum_{\alpha} e_{\alpha}^{(j)}(\mathbf{k}) e_{\alpha}^{(j')}(\mathbf{k}) = \delta^{(jj')}$ .

- transformace (10) mezi  $\{q_{R\alpha}\}$  a  $\{Q_{kj}\}$   
(a též mezi  $\{p_{R\alpha}\}$  a  $\{P_{kj}\}$ ) je reálná ortogonální;  
transformace  $\{q_{R\alpha}, p_{R\alpha}\} \longleftrightarrow \{Q_{kj}, P_{kj}\}$  je kanonická

- technická poznámka:

Transformace (10) odpovídá tzv. Hartleyově transformaci;  
obvykle se zde používá transformace Fourierova, daná  
záměnou  $\cos[\mathbf{k} \cdot \mathbf{R} - (\pi/4)] \rightarrow \exp(\pm i\mathbf{k} \cdot \mathbf{R})$  v rov. (10).  
Vzhledem ke vztahům

$$\exp(\pm i\mathbf{k} \cdot \mathbf{R}) = \cos(\mathbf{k} \cdot \mathbf{R}) \pm i \sin(\mathbf{k} \cdot \mathbf{R}),$$

$$\sqrt{2} \cos[\pm \mathbf{k} \cdot \mathbf{R} - (\pi/4)] = \cos(\mathbf{k} \cdot \mathbf{R}) \pm \sin(\mathbf{k} \cdot \mathbf{R}),$$

jsou obě transformace matematicky ekvivalentní. Výhodou Hartleyovy transformace je reálnost všech veličin v rov. (10).

- normální souřadnice pro Bravaisovy mřížky (pár poznámek)
- ▶ hamiltonián systému v původních souřadnicích je  
(systém  $3N$  svázaných harmonických oscilátorů)

$$H = \frac{1}{2M} \sum_{\mathbf{R}\alpha} p_{\mathbf{R}\alpha}^2 + \frac{1}{2} \sum_{\mathbf{R}'\alpha', \mathbf{R}\alpha} q_{\mathbf{R}'\alpha'} \Phi_{\mathbf{R}'\mathbf{R}}^{\alpha'\alpha} q_{\mathbf{R}\alpha},$$

kde reálná symetrická matice  $\Phi_{\mathbf{R}'\mathbf{R}}^{\alpha'\alpha}$  ( $= \Phi_{\mathbf{R}\mathbf{R}'}^{\alpha\alpha'}$ )  
je invariantní vůči translacím ( $\Phi_{\mathbf{R}'\mathbf{R}}^{\alpha'\alpha} = \Phi_{\mathbf{0},\mathbf{R}-\mathbf{R}'}^{\alpha'\alpha}$ )  
a prostorové inverzi ( $\Phi_{\mathbf{0},-\mathbf{R}}^{\alpha'\alpha} = \Phi_{\mathbf{0}\mathbf{R}}^{\alpha'\alpha}$ )

- ▶ v obecném případě vyžaduje transformace k normálním souřadnicím nalezení spektra (tj. vlastních vektorů a vlastních hodnot) matice  $\Phi_{\mathbf{R}'\mathbf{R}}^{\alpha'\alpha}$  s dimenzí  $3N \times 3N$

- ▶ v případě Bravaisových mřížek se problém silně zjednoduší využitím reciprokého prostoru
- ▶ pro reciproký vektor  $\mathbf{k}$  zadefinujeme matici dimenze  $3 \times 3$   
 $\tilde{\Phi}(\mathbf{k}) = \{\tilde{\Phi}^{\alpha'\alpha}(\mathbf{k})\}$  s elementy

$$\tilde{\Phi}^{\alpha'\alpha}(\mathbf{k}) = \sum_{\mathbf{R}} \cos(\mathbf{k} \cdot \mathbf{R}) \Phi_{\mathbf{0}\mathbf{R}}^{\alpha'\alpha},$$

což je reálná symetrická matice

- ▶ její vlastní hodnoty jsou  $M\omega_j^2(\mathbf{k})$ ,  $j = 1, 2, 3$ , kde  $\omega_j(\mathbf{k})$  jsou frekvence (akustických) fononů; příslušné vlastní vektory  $\{e_{\alpha}^{(j)}(\mathbf{k})\} = \mathbf{e}^{(j)}(\mathbf{k})$  jsou polarizační vektory fononových módů

- původní hamiltonián soustavy kmitajících jader (všechna jádra shodná) přejde v normálních souřadnicích do tvaru

$$H = \sum_{\mathbf{k}}^{\text{BZ}} \sum_{j=1}^3 \left[ \frac{P_{\mathbf{k}j}^2}{2M} + \frac{M\omega_j^2(\mathbf{k})}{2} Q_{\mathbf{k}j}^2 \right], \quad (11)$$

což odpovídá systému  $3N$  nezávislých lineárních harmonických oscilátorů. Zde  $\omega_j(\mathbf{k})$  jsou frekvence fononových módů.

- v normálních souřadnicích a se složeným indexem  $s \equiv (\mathbf{k}j)$  vyjde pro výchylku emitujícího jádra  $\mathbf{q}(t) = \mathbf{q}_0(t)$ :

$$\mathbf{K} \cdot \mathbf{q}(t) = \sum_s \kappa_s Q_s(t), \quad \kappa_s = \frac{1}{\sqrt{N}} \mathbf{K} \cdot \mathbf{e}^{(j)}(\mathbf{k}), \quad (12)$$

tj. jednotlivé fononové módy vstupují do fáze el.-mag. vlny s efektivními vlnovými čísly  $\kappa_s$ , přičemž  $\kappa_s \rightarrow 0$  pro  $N \rightarrow \infty$

- z nezávislosti normálních módů plyne, že v emisním spektru budou obsaženy frekvence  $\Omega = \Omega_0 + \sum_s n_s \omega_s$ , kde všechna  $n_s$  jsou celá čísla a  $\omega_s = \omega_j(\mathbf{k})$ ; relativní intenzita  $f$  čáry s frekvencí  $\Omega_0$  (tj. všechna  $n_s = 0$ ) bude pak dána součinem výrazů  $\langle C_0^2 \rangle$  z rov. (9) přes všechny módy; vyjde nám pro ni vztah

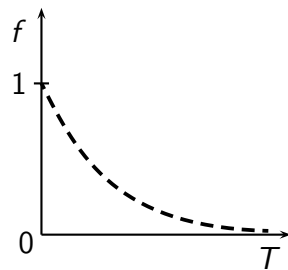
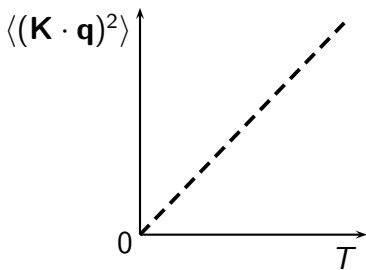
$$\begin{aligned}\ln f &= - \sum_s \kappa_s^2 \langle Q_s^2 \rangle + Z, \\ Z &= \sum_s \ln [J_0(i\kappa_s^2 \langle Q_s^2 \rangle)].\end{aligned}\quad (13)$$

Zde první sumu lze podle rov. (12) ztotožnit s  $\langle (\mathbf{K} \cdot \mathbf{q})^2 \rangle$  (díky nezávislosti normálních módů), zatímco člen  $Z$  v limitě nekonečného krystalu ( $N \rightarrow \infty$ ) vymizí ( $Z \rightarrow 0$ ).

- výsledek tedy je

$$f = \exp[-\langle (\mathbf{K} \cdot \mathbf{q})^2 \rangle], \quad (14)$$

což je tzv. Lambův-Mössbauerův faktor: relativní intenzita čáry s neposunutou frekvencí  $\Omega_0$  je dána střední hodnotou kvadrátu výchylky jádra ve směru emitovaného fotonu



- důkaz vztahu  $\sum_s \kappa_s^2 \langle Q_s^2 \rangle = \langle (\mathbf{K} \cdot \mathbf{q})^2 \rangle :$

Podle rov. (12) máme  $\mathbf{K} \cdot \mathbf{q} = \sum_s \kappa_s Q_s$ , což dává

$$\langle (\mathbf{K} \cdot \mathbf{q})^2 \rangle = \left\langle \sum_{ss'} \kappa_s \kappa_{s'} Q_s Q_{s'} \right\rangle = \sum_{ss'} \kappa_s \kappa_{s'} \langle Q_s Q_{s'} \rangle.$$

Ovšem díky statistické nezávislosti různých módů platí pro  $s \neq s'$ :  $\langle Q_s Q_{s'} \rangle = \langle Q_s \rangle \langle Q_{s'} \rangle = 0$ , a tedy pro všechny dvojice  $s, s'$ :  $\langle Q_s Q_{s'} \rangle = \delta_{ss'} \langle Q_s^2 \rangle$ , takže

$$\sum_{ss'} \kappa_s \kappa_{s'} \langle Q_s Q_{s'} \rangle = \sum_s \kappa_s^2 \langle Q_s^2 \rangle,$$

čímž je důkaz hotov.

- nástin důkazu limity  $Z \rightarrow 0$  pro  $N \rightarrow \infty$  v rov. (13):
  - délkový rozměr krystalu je  $La$ , kde  $a$  je mřížkový parametr a  $L = N^{1/3}$ ; nejmenší nenulový  $\mathbf{k}$  vektor má tedy velikost  $k_{\min} \sim 1/(La)$  a příslušná nejmenší frekvence  $\omega_s$  je  $\omega_{\min} \sim u/(La)$ , kde  $u$  značí rychlosť zvuku; příslušná největší hodnota  $\langle Q_s^2 \rangle$  podle ekvipartičního teorému je  $\sim k_B T a^2 L^2 / (M u^2)$ , a tedy největší hodnota  $(\kappa_s^2 \langle Q_s^2 \rangle)$  je  $\sim B/L$ , kde  $B \approx \mathbf{K}^2 k_B T a^2 / (M u^2)$ , takže všechny argumenty Besselových funkcí v (13) jdou k nule pro  $N \rightarrow \infty$
  - s tím bude (sledujeme jen závislost na  $N$ ):

$$Z \sim \sum_s \kappa_s^4 \langle Q_s^2 \rangle^2 \sim N^{-2} \sum_s k_s^{-4}, \text{ a tedy}$$

$$Z \sim N^{-1} \int_{k_{\min}}^{k_{\max}} k^{-4} k^2 dk \sim (N k_{\min})^{-1} \sim N^{-2/3},$$

čímž je důkaz hotov

- poznámka k fononovým módům s  $\mathbf{k} = \mathbf{0}$ :

Pro tři fononové módy s nulovým  $\mathbf{k}$  vektorem je jejich fononová frekvence nulová (akustické fonony), takže postup popsaný výše se nedá použít. Příslušné příspěvky do hamiltoniánu (11) jsou  $P_{0j}^2/(2M)$ ,  $j = 1, 2, 3$ , a význam veličin  $P_{0j}$  je zřejmý, neboť podle rov. (10) platí:

$$P_{0j} = \frac{1}{\sqrt{N}} \mathbf{e}^{(j)}(\mathbf{0}) \cdot \mathbf{p}_{\text{tot}}, \quad \mathbf{p}_{\text{tot}} = \sum_{\mathbf{R}} \mathbf{p}_{\mathbf{R}}.$$

Tedy:  $P_{0j}$  je úměrné průmětu celkové hybnosti krystalu  $\mathbf{p}_{\text{tot}}$  do vektoru  $\mathbf{e}^{(j)}(\mathbf{0})$ . Pak je:  $\sum_{j=1}^3 P_{0j}^2/(2M) = \mathbf{p}_{\text{tot}}^2/(2NM)$ , což odpovídá kinetické energii posuvného pohybu celého krystalu (s hmotou  $NM$ ). Vliv tohoto pohybu je změna energie (frekvence) emitovaného fotonu o energii zpětného rázu; v limitě  $N \rightarrow \infty$  lze tento vliv zanedbat.

### 3 Kvantový popis pohybu jader

- ▶ el.-mag. pole – klasicky
- ▶ kmity jader i vnitřní stupně volnosti jader – kvantově

#### 3.1 Jádro v poli jednoho oscilátoru

- pro jádro v poli jediného lineárního harmonického oscilátoru s hamiltoniánem

$$\hat{H}_{\text{osc}} = \frac{\hat{p}^2}{2M} + \frac{M\omega^2}{2} \hat{q}^2, \quad (15)$$

jehož vlastní hodnoty jsou  $E_n = \hbar\omega(n + \frac{1}{2})$ ,  $n = 0, 1, \dots$ , bude mít časově závislý interakční hamiltonián  $\hat{H}'(t)$  tvar [srv. s rov. (2)]

$$\hat{H}'(t) = \hat{H}'_{\text{nucl}} \exp(-iK\hat{q}) \exp(i\Omega t) + \text{h.c.} . \quad (16)$$

Pro pravděpodobnost přechodu za jednotku času mezi

- ▶ počátečním stavem  $|i\rangle$  s jádrem v excitovaném stavu a oscilátorem ve stavu  $n$  a
- ▶ konečným stavem  $|f\rangle$  s jádrem v základním stavu a oscilátorem ve stavu  $n'$

dostaneme frekvenční závislost (Fermiho zlaté pravidlo):

$$w_{i \rightarrow f}(\Omega) \sim |C_{n'n}|^2 \delta\left(\Omega - \Omega_0 + (n' - n)\omega\right), \quad (17)$$

kde  $C_{n'n}$  značí maticový element

$$C_{n'n} = \langle n' | \exp(-iK\hat{q}) | n \rangle . \quad (18)$$

- vztah (17) znamená existenci přechodů s frekvencemi  $\Omega$  posunutými vzhledem k  $\Omega_0$  o  $(n' - n)\omega$ ;  
intenzity jednotlivých přechodů jsou úměrné  $|C_{n'n}|^2$
- maticové elementy  $C_{n'n}$  splňují sumační pravidlo  
[důsledek unitarity operátoru  $\exp(-iK\hat{q})$  ]

$$\sum_{n'=0}^{\infty} |C_{n'n}|^2 = 1, \quad (19)$$

takže  $C_{nn}^2$  udává relativní intenzitu komponenty  
s nezměněnou frekvencí  $\Omega_0$  ( $C_{nn}$  jsou reálné)

- porovnání klasického a kvantového popisu pohybu jádra:
    - ▶ klasicky: posuv frekvence o  $n\omega$  s intenzitou  $|C_n|^2$ ,  
kde  $C_n$  – Fourierův koeficient funkce  $\exp[-iKq(t)]$
    - ▶ kvantově: posuv frekvence o  $(n' - n)\omega$  s intenzitou  $|C_{n'n}|^2$ ,  
kde  $C_{n'n}$  – maticový element operátoru  $\exp(-iK\hat{q})$
- ⇒ v obou případech jsou v emisním spektru obsaženy frekvence lišící se od  $\Omega_0$  o celočíselný násobek frekvence oscilátoru  $\omega$ ;  
kromě toho je v obou případech ve spektru přítomna též nezměněná frekvence  $\Omega_0$

- emisní spektrum souboru identických jader o teplotě  $T$  bude obsahovat čáru s frekvencí  $\Omega_0$  s relativní intenzitou  $\langle C_{nn}^2 \rangle$ , kde  $\langle X_n \rangle \equiv \sum_{n=0}^{\infty} \rho_n X_n$  značí statistické středování s boltzmannovským rozdělením, tj.  $\rho_n \sim \exp(-\beta E_n)$ ; pro  $\langle C_{nn}^2 \rangle$  lze získat dolní odhad

$$\begin{aligned}\langle C_{nn}^2 \rangle &\geq \langle C_{nn} \rangle^2, \\ \langle C_{nn} \rangle &= \langle \exp(-iK\hat{q}) \rangle = \exp\left(-\frac{K^2}{2} \langle \hat{q}^2 \rangle\right).\end{aligned}\quad (20)$$

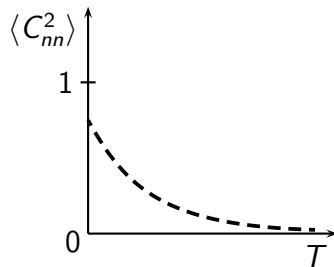
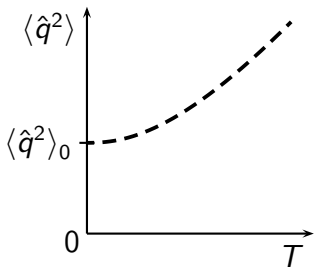
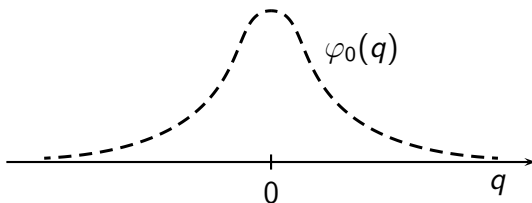
Přesný vztah zní:

$$\langle C_{nn}^2 \rangle = \exp(-K^2 \langle \hat{q}^2 \rangle) J_0\left(iK^2 \sqrt{\langle \hat{q}^2 \rangle^2 - \langle \hat{q}^2 \rangle_0^2}\right), \quad (21)$$

kde  $\langle \hat{q}^2 \rangle_0 = \hbar/(2M\omega)$  značí kvadrát výchylky oscilátoru v základním stavu.

Toto jsou kvantové analogie klasických vztahů (8) a (9).

lineární harmonický oscilátor:  
vlnová funkce základního stavu



## Kvantová statistika pro harmonický oscilátor

- hamiltonián kvantového lineárního harmonického oscilátoru s frekvencí  $\omega$  je ( $\hat{n}$  – operátor počtu kvant,  $\hat{n} = \hat{a}^\dagger \hat{a}$ )

$$\hat{H} = \frac{\hat{P}^2}{2M} + \frac{M\omega^2}{2} \hat{Q}^2 = \hbar\omega \left( \hat{n} + \frac{1}{2} \right)$$

- kvantové statistické středování  $\langle \dots \rangle$  je obecně definováno pomocí

$$\langle \hat{A} \rangle = \frac{1}{Z} \text{Tr} \left[ \exp(-\beta \hat{H}) \hat{A} \right], \quad Z = \text{Tr} \left[ \exp(-\beta \hat{H}) \right],$$

kde  $\hat{A}$  je libovolný hermitovský operátor,  $\text{Tr}$  značí stopu operátoru a  $\beta = 1/(k_B T)$

- ze známého spektra hamiltoniánu oscilátoru lze (pomocí součtu nekonečné geometrické řady a dalších identit) odvodit:

$$\langle \hat{n} \rangle = \frac{1}{\exp(\beta \hbar \omega) - 1},$$

$$\langle \hat{H} \rangle = \frac{1}{M} \langle \hat{P}^2 \rangle = M \omega^2 \langle \hat{Q}^2 \rangle = \frac{\hbar \omega}{2} \coth\left(\frac{\beta \hbar \omega}{2}\right),$$

$$\langle \exp(c \hat{Q}) \rangle = \exp\left(\frac{c^2}{2} \langle \hat{Q}^2 \rangle\right),$$

kde  $c$  je libovolná (i komplexní) konstanta.

Horní vztah – Bose-Einsteinova distribuční funkce.

Vztahy na prostředním řádku přejdou pro  $\hbar \omega \ll k_B T$   
 [tj. v klasické limitě ( $\hbar \rightarrow 0$ ), nebo v limitě vysokých teplot  
 ( $T \rightarrow \infty$ )] do odpovídajících vztahů klasických.

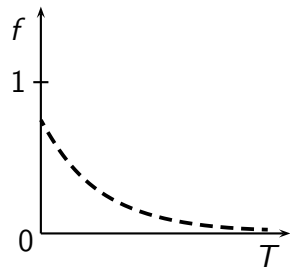
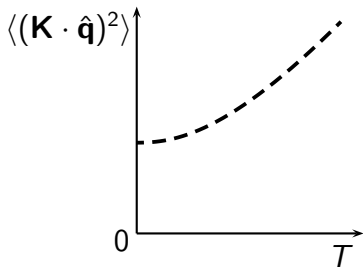
### 3.2 Jádro v pevné látce

- postup analogický s předchozím
- ▶ přechod k normálním souřadnicím je stejný jako v klasickém případě (pouze místo  $q, p, Q, P$  máme  $\hat{q}, \hat{p}, \hat{Q}, \hat{P}$ )
- ▶ fononové módy:  $s \equiv (\mathbf{k}_j)$  s frekvencemi  $\omega_s$   
(a s efektivními vlnovými čísly  $\kappa_s$ )
- ▶ kvantové stavy:  $|i\rangle =$  jádro excit. + mřížka  $n \equiv \{n_s\}$   
 $|f\rangle =$  jádro zákl. + mřížka  $n' \equiv \{n'_s\}$
- ▶ v emisním spektru jsou obsaženy frekvence  
$$\Omega = \Omega_0 + \sum_s (n_s - n'_s) \omega_s$$
- ▶ relativní intenzita  $f$  čáry s frekvencí  $\Omega_0$  (tj.  $n'_s = n_s$  pro všechny módy  $s$ ) je rovna součinu výrazů  $\langle C_{nn}^2 \rangle$  z rov. (21) přes všechny módy

- vyjde, že intenzita čáry s nezměněnou frekvencí  $\Omega_0$  (tj. četnost jaderného přechodu bez změny fononového stavu krystalu) je dána kvantovým Lambovým-Mössbauerovým faktorem

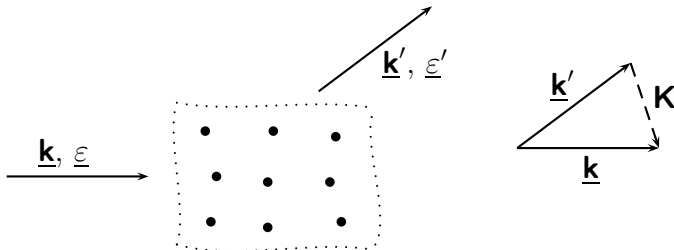
$$f = \exp[-\langle (\mathbf{K} \cdot \hat{\mathbf{q}})^2 \rangle]; \quad (22)$$

jeho hodnota je menší než v přístupu klasickém (14), zejména pro nízké teploty, avšak dostatečná pro pozorování i aplikace



## 4 Vztah k Debye-Wallerovu faktoru

- teplotní závislost intenzity difrakčních maxim (neutrony, rtg. záření)



- $\hbar\underline{K}$  – přenesený impuls pro přechod od dopadající částice (energie  $\varepsilon$ , vlnový vektor  $\underline{k}$ ) k vylétávající částici (energie  $\varepsilon'$ , vlnový vektor  $\underline{k}'$ ), tedy  $\underline{K} = \underline{k} - \underline{k}'$  (pro elastický rozptyl:  $\varepsilon' = \varepsilon$ ,  $|\underline{k}'| = |\underline{k}|$ )

- uvažujeme jen Bravaisovy mřížky (uzlové body  $\mathbf{R}$ ) obsazené shodnými jádry/atomy s identickými rozptylovými vlastnostmi [neutrony: rozptylová délka (amplituda rozptylu, Fermiho pseudopotenciál), rtg. záření: atomový rozptylový faktor (formfaktor)]

- bez fononů je intenzita  $I_{\mathbf{K}} \sim |A_{\mathbf{K}}|^2$ , kde amplituda  $A_{\mathbf{K}}$  je

$$A_{\mathbf{K}} \sim \sum_{\mathbf{R}} \exp(i\mathbf{K} \cdot \mathbf{R}) \sim \sum_{\mathbf{G}} \delta(\mathbf{K} - \mathbf{G}), \quad (23)$$

tj. maxima nastávají pro  $\mathbf{K} = \mathbf{G}$ , kde  $\mathbf{G}$  značí mřížové vektory reciproké mřížky (Braggova podmínka)  
[rov. (23) platí pro nekonečně velké ideální krystaly]

- jaký je vliv fononů a jak je započít?

- se zahrnutím fononů nutno uvažovat diferenciální účinný průřez s rozlišením energie i směru vylétávajících částic (podle Fermiho zlatého pravidla)

$$\frac{d^2\sigma}{d\underline{\Omega}' d\underline{\varepsilon}'} \sim \sum_{n,n'} \rho_n \left| \left\langle n' \left| \hat{V}_K \right| n \right\rangle \right|^2 \delta(\underline{\varepsilon}' + E_{n'} - \underline{\varepsilon} - E_n), \quad (24)$$

kde element prostorového úhlu  $d\underline{\Omega}'$  se vztahuje ke směru vektoru  $\underline{k}'$ , indexy  $n, n'$  číslují vlastní stavy fononového hamiltoniánu příslušející vlastním energiím  $E_n, E_{n'}$

a  $\rho_n$  je váhový faktor pro statistické středování přes počáteční fononové stavy, tj.  $\rho_n \sim \exp(-\beta E_n)$ ,  $\beta = (k_B T)^{-1}$ .

Poruchový operátor  $\hat{V}_K$  působí na Hilbertově prostoru fononových stavů a je definován vztahem

$$\hat{V}_K = \sum_R \exp [i \mathbf{K} \cdot (\mathbf{R} + \hat{\mathbf{q}}_R)], \quad (25)$$

kde  $\hat{\mathbf{q}}_R$  je operátor výchylky jádra z rovnovážné polohy  $\mathbf{R}$ .

- pomocí Fourierovy reprezentace  $\delta$ -funkce,  
tj.  $\delta(a) \sim \int_{-\infty}^{\infty} \exp(iat) dt$ , přepíšeme rov. (24) na

$$\frac{d^2\sigma}{d\underline{\Omega}' d\underline{\varepsilon}'} \sim \sum_{n,n'} \rho_n \left\langle n \left| \hat{V}_{\mathbf{k}}^+ \right| n' \right\rangle \left\langle n' \left| \hat{V}_{\mathbf{k}} \right| n \right\rangle \\ \times \int_{-\infty}^{\infty} \exp[i(E_{n'} - E_n)t/\hbar] \exp[i(\underline{\varepsilon}' - \underline{\varepsilon})t/\hbar] dt. \quad (26)$$

Zavedeme-li časově závislý poruchový operátor  $\hat{V}_{\mathbf{k}}(t)$  v Heisenbergově reprezentaci s fononovým hamiltoniánem  $\hat{H}$ ,

$$\hat{V}_{\mathbf{k}}(t) = \exp(i\hat{H}t/\hbar) \hat{V}_{\mathbf{k}} \exp(-i\hat{H}t/\hbar), \quad (27)$$

pak lze pro maticový element v rov. (26) psát vztah

$$\exp[i(E_{n'} - E_n)t/\hbar] \left\langle n' \left| \hat{V}_{\mathbf{k}} \right| n \right\rangle = \left\langle n' \left| \hat{V}_{\mathbf{k}}(t) \right| n \right\rangle. \quad (28)$$

- s tím lze diferenciální účinný průřez (26) přepsat do kompaktního tvaru

$$\begin{aligned}
 \frac{d^2\sigma}{d\underline{\Omega}' d\underline{\varepsilon}'} &\sim \int_{-\infty}^{\infty} \sum_{n,n'} \rho_n \left\langle n \left| \hat{V}_{\mathbf{k}}^+ \right| n' \right\rangle \left\langle n' \left| \hat{V}_{\mathbf{k}}(t) \right| n \right\rangle \\
 &\quad \times \exp[i(\underline{\varepsilon}' - \underline{\varepsilon})t/\hbar] dt \\
 &= \int_{-\infty}^{\infty} \sum_n \rho_n \left\langle n \left| \hat{V}_{\mathbf{k}}^+ \hat{V}_{\mathbf{k}}(t) \right| n \right\rangle \exp[i(\underline{\varepsilon}' - \underline{\varepsilon})t/\hbar] dt \\
 &= \int_{-\infty}^{\infty} \left\langle \hat{V}_{\mathbf{k}}^+ \hat{V}_{\mathbf{k}}(t) \right\rangle \exp[i(\underline{\varepsilon}' - \underline{\varepsilon})t/\hbar] dt , \tag{29}
 \end{aligned}$$

kde  $\langle \dots \rangle$  zahrnuje kvantově-mechanické středování v jednotlivých vlastních stavech a statistické středování přes všechny vlastní stavy (při teplotě  $T$ )

- v nejjednodušším přiblížení (dobře splněném pro spojité fononová spektra v limitě velkých časů,  $t \rightarrow \pm\infty$ ) lze položit

$$\langle \hat{V}_\mathbf{k}^+ \hat{V}_\mathbf{k}(t) \rangle \approx \langle \hat{V}_\mathbf{k}^+ \rangle \langle \hat{V}_\mathbf{k}(t) \rangle, \quad (30)$$

což díky  $\langle \hat{V}_\mathbf{k}(t) \rangle = \langle \hat{V}_\mathbf{k} \rangle$  zredukuje rov. (29) na elastický příspěvek k účinnému průřezu

$$\frac{d^2\sigma_{el}}{d\underline{\Omega}' d\underline{\varepsilon}'} \sim \left| \langle \hat{V}_\mathbf{k} \rangle \right|^2 \delta(\underline{\varepsilon}' - \underline{\varepsilon}). \quad (31)$$

Integrací přes energii vylétávající částice  $\underline{\varepsilon}'$  z toho plyne diferenciální účinný průřez rozlišující pouze směr vylétávajících částic:

$$\frac{d\sigma_{el}}{d\underline{\Omega}'} \sim \left| \langle \hat{V}_\mathbf{k} \rangle \right|^2. \quad (32)$$

- poznámky k rovnosti  $\langle \hat{V}_K(t) \rangle = \langle \hat{V}_K \rangle :$
  - ▶ obecně :  $\langle \hat{A} \rangle = \text{Tr}\{\hat{\rho}\hat{A}\}, \quad \hat{\rho} = Z^{-1} \exp(-\beta \hat{H}),$   
 $Z = \text{Tr}\{\exp(-\beta \hat{H})\} \implies \text{Tr}\{\hat{\rho}\} = 1$
  - ▶ v bázi vlastních stavů  $\hat{H}$  [ tj.  $|n\rangle, E_n, n = \dots$  ] :  
 $Z = \sum_n \exp(-\beta E_n), \quad \langle \hat{A} \rangle = \sum_n \rho_n \langle n | \hat{A} | n \rangle,$   
 $\rho_n = \exp(-\beta E_n) / Z$
  - ▶ pro stopu :  $\text{Tr}\{\hat{A}\hat{B}\} = \text{Tr}\{\hat{B}\hat{A}\}, \quad \text{Tr}\{\hat{A}\hat{B}\hat{C}\} = \text{Tr}\{\hat{C}\hat{A}\hat{B}\}$
  - ▶ pro  $\hat{A}(t) = \exp(i\hat{H}t/\hbar) \hat{A} \exp(-i\hat{H}t/\hbar)$  :
- $$\begin{aligned} \langle \hat{A}(t) \rangle &= Z^{-1} \text{Tr}\{\exp(-\beta \hat{H}) \exp(i\hat{H}t/\hbar) \hat{A} \exp(-i\hat{H}t/\hbar)\} \\ &= Z^{-1} \text{Tr}\{\exp(-i\hat{H}t/\hbar) \exp(-\beta \hat{H}) \exp(i\hat{H}t/\hbar) \hat{A}\} \\ &= Z^{-1} \text{Tr}\{\exp(-\beta \hat{H}) \hat{A}\} = \langle \hat{A} \rangle \end{aligned}$$

- pravá strana aproximace (30) využívá jen střední hodnotu poruchového operátoru  $\hat{V}_K$ , což odpovídá elastickému rozptylu s nezměněným fononovým stavem krystalu; příspěvky k neelastickému rozptylu (s emisí a/nebo absorpcí fononů) lze získat z rozdílu obou stran rov. (30)
- pro  $\langle \hat{V}_K \rangle$  s využitím normálních souřadnic vyjde

$$\langle \hat{V}_K \rangle = \sum_R \exp(i\mathbf{K} \cdot \mathbf{R}) \langle \exp(i\mathbf{K} \cdot \hat{\mathbf{q}}_R) \rangle,$$

$$\langle \exp(i\mathbf{K} \cdot \hat{\mathbf{q}}_R) \rangle = \exp(-W_K), \quad W_K = \frac{1}{2} \langle (\mathbf{K} \cdot \hat{\mathbf{q}}_R)^2 \rangle, \quad (33)$$

kde  $W_K$  je úměrné střední hodnotě kvadrátu výchylky jádra ve směru vektoru  $\mathbf{K}$ ; přitom  $W_K$  závisí na směru i velikosti vektoru  $\mathbf{K}$ , ale nezávisí na  $\mathbf{R}$

- pro intenzitu elastického rozptylu (difrakce) pak podle rov. (32) a rov. (33) vyjde

$$\frac{d\sigma_{el}}{d\Omega'} \sim \left| \left\langle \hat{V}_K \right\rangle \right|^2 = \exp(-2W_K) \left| \sum_R \exp(iK \cdot R) \right|^2, \quad (34)$$

čili maxima intenzity nastávají opět pro  $K = G$ , ale hodnoty těch maxim jsou sníženy příslušným Debye-Wallerovým faktorem  $\exp(-2W_G)$

- podobnost Lambova-Mössbauerova a Debye-Wallerova faktoru: srov. rov. (14), rov. (22) a rov. (33); oba faktory odrázejí přenos impulsu na krystalovou mřížku